

SESQUITERPENOS PRODUZIDOS PELO FUNGO ENDOFÍTICO *Phomopsis cassiae* COM ATIVIDADE ANTIFÚNGICA E INIBIDORA DE ACETILCOLINESTERASE*

Lisinéia M. Zanardi, Vanderlan da S. Bolzani, Alberto J. Cavalheiro, Dulce H. Siqueira Silva, Henrique C. Trevisan† e Angela R. Araujo*

Instituto de Química, Universidade Estadual Paulista, CP 355, 14801-970 Araraquara – SP, Brasil

Geraldo H. Silva

Centro de Ciências Exatas e Tecnologia, Universidade Federal de Sergipe, 49100-000 Aracajú – SE, Brasil

Helder L. Teles

Departamento de Ciências Biológicas, Universidade Federal do Mato Grosso, 78735-901 Rondonópolis – MT, Brasil

Maria Cláudia M. Young

Secção de Fisiologia e Bioquímica de Plantas, Instituto de Botânica, CP 4005, 01061-970 São Paulo – SP, Brasil

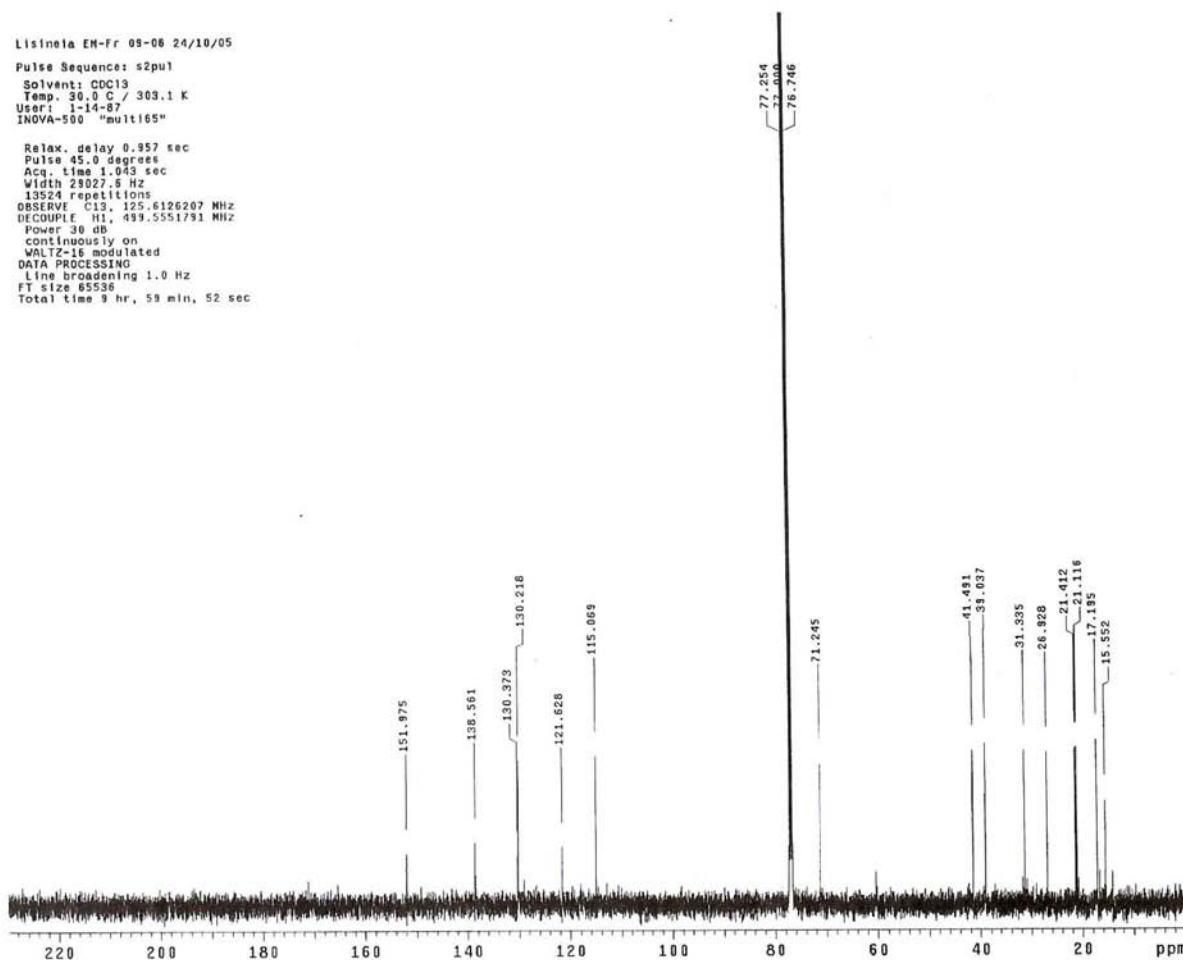


Figura 1S. Espectro de RMN de ^{13}C de **1** (CDCl_3 , 125 MHz)

*e-mail: araujoar@iq.unesp.br

†In Memoriam

#Artigo em homenagem ao Prof. Otto R. Gottlieb (31/8/1920-19/6/2011)

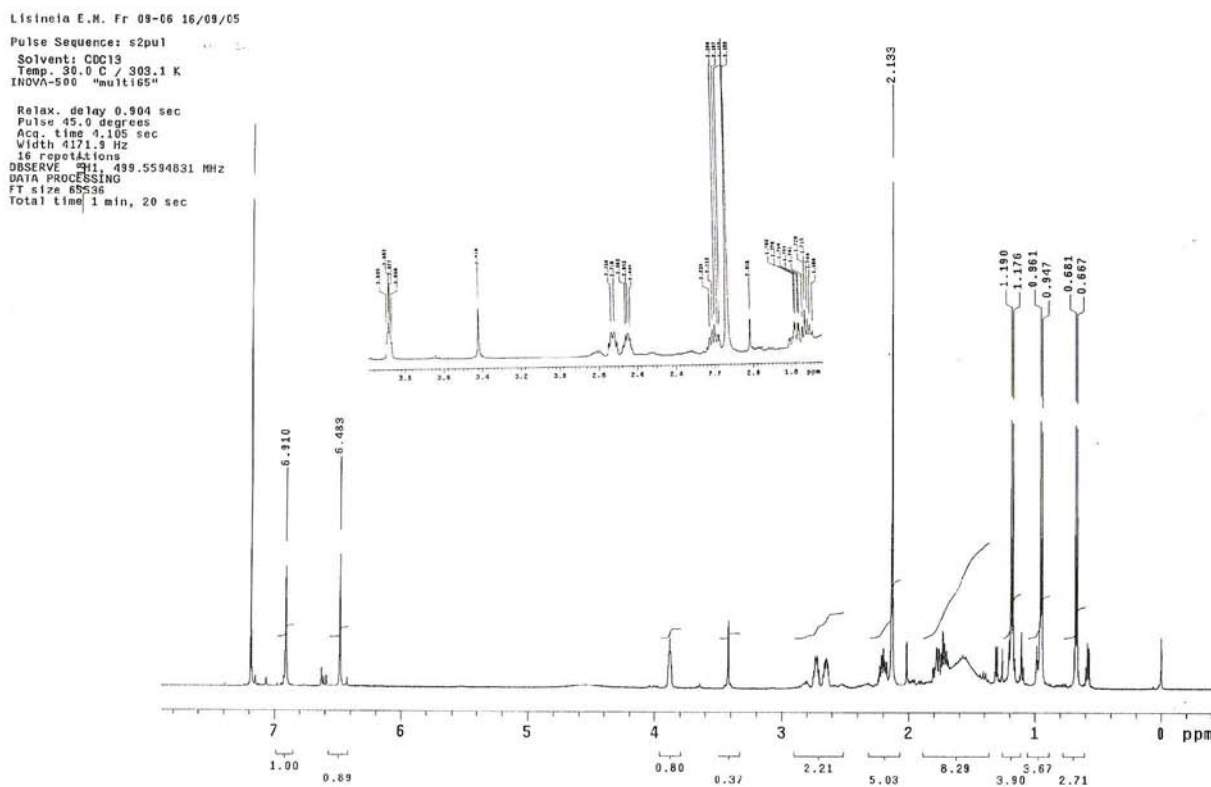


Figura 2S. Espectro de RMN de ¹H de 1 (CDCl₃, 500 MHz)

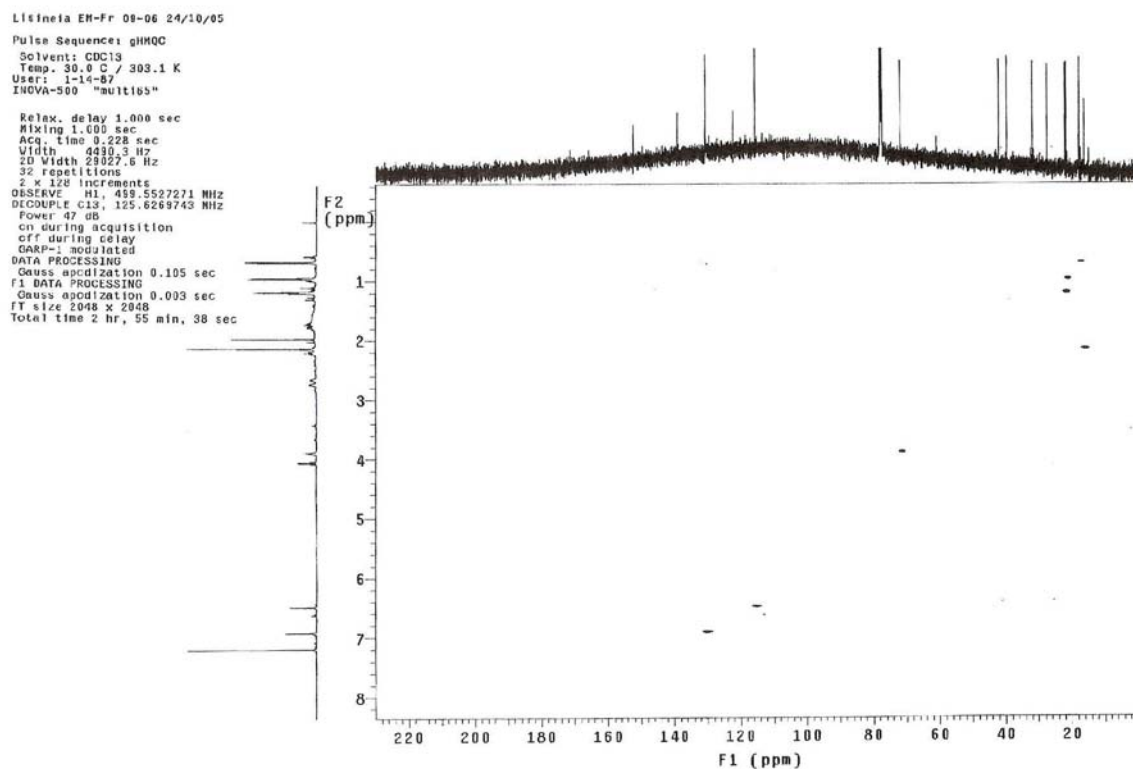


Figura 3S. Mapa de contorno de gHMOC de 1 (CDCl₃, 125 MHz)

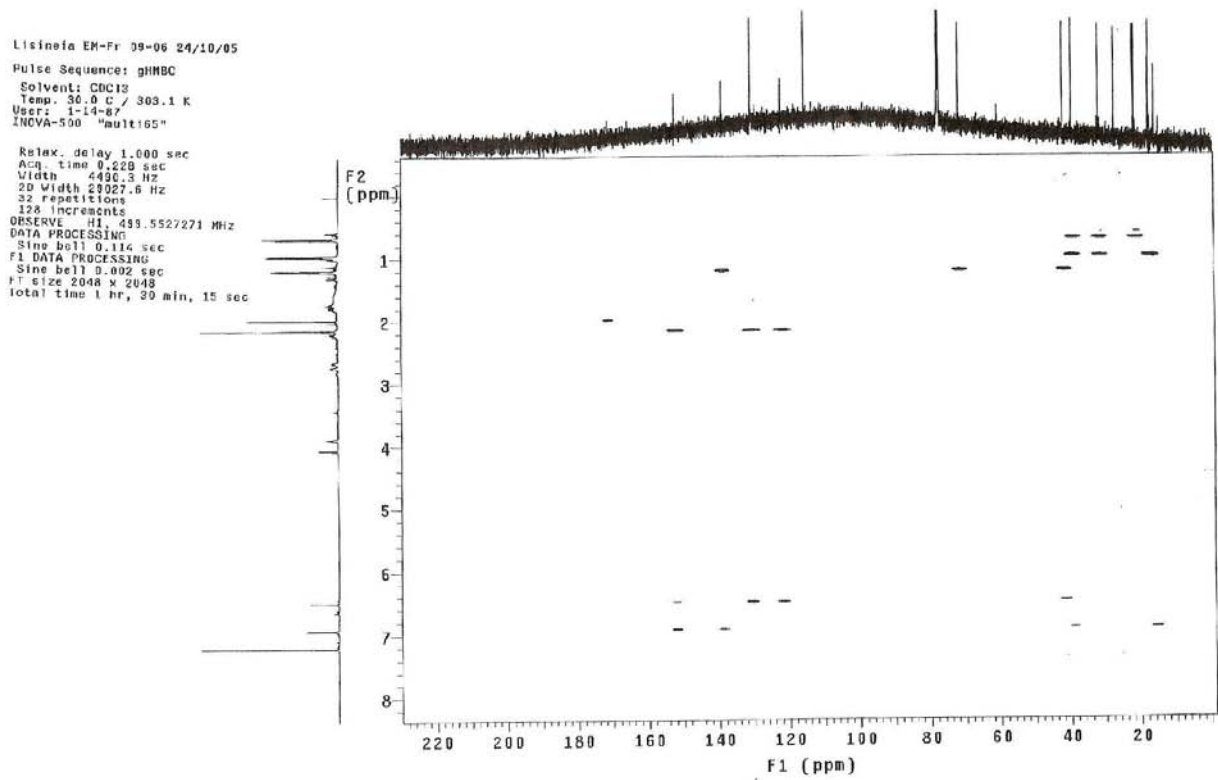
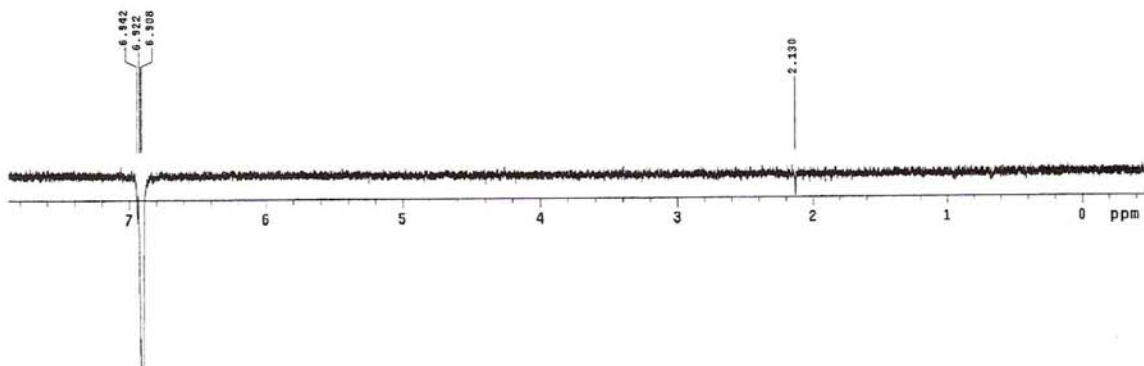


Figura 4S. Mapa de contorno de gHMBC de **1** (CDCl₃, 125 MHz)

Lisinelã EM Fr 09-06 28/09/05
Pulse Sequence: NOESY1D
Solvent: CDCl3
Temp. 30.0 C / 303.1 K
INOVA-500 "mult165"

Relax. delay 1.000 sec
Pulse 90.0 degrees
Mixing 1.000 sec
Acq. time 4.105 sec
Width 4171.8 Hz
64 repetitions
OBSERVE H1: 499.5527262 MHz
DATA PROCESSING
Line broadening 0.2 Hz
FT size 65536
Total time 6 min, 52 sec



Lisinelã EM Fr 09-06 28/09/05
Pulse Sequence: NOESY1D
Solvent: CDCl3
Temp. 30.0 C / 303.1 K
INOVA-500 "mult165"

Relax. delay 1.000 sec
Pulse 90.0 degrees
Mixing 1.000 sec
Acq. time 4.105 sec
Width 4171.8 Hz
64 repetitions
OBSERVE H1: 499.5527262 MHz
DATA PROCESSING
Line broadening 1.0 Hz
FT size 65536
Total time 6 min, 51 sec

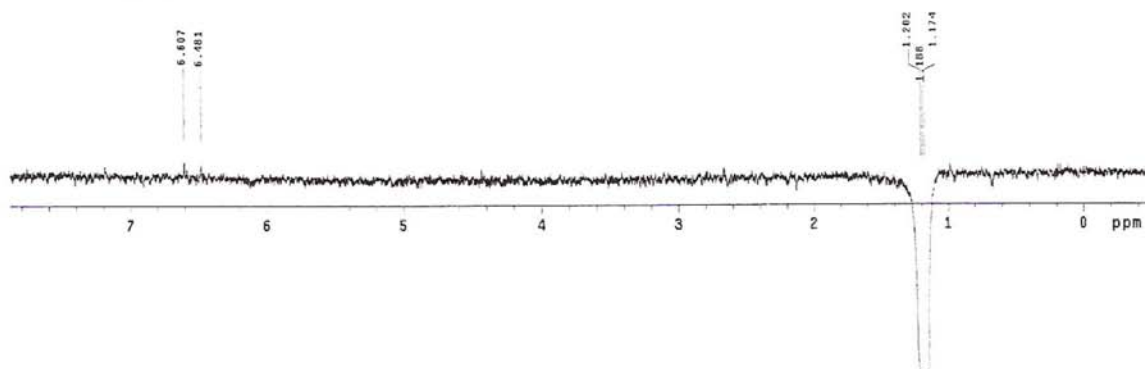


Figura 5S. Espectro de NOESY 1D de **1** (CDCl₃, 500 MHz), hidrogênios irradiados: a) H-6, δ_H 6,91; b) H-14, δ_H 1,18

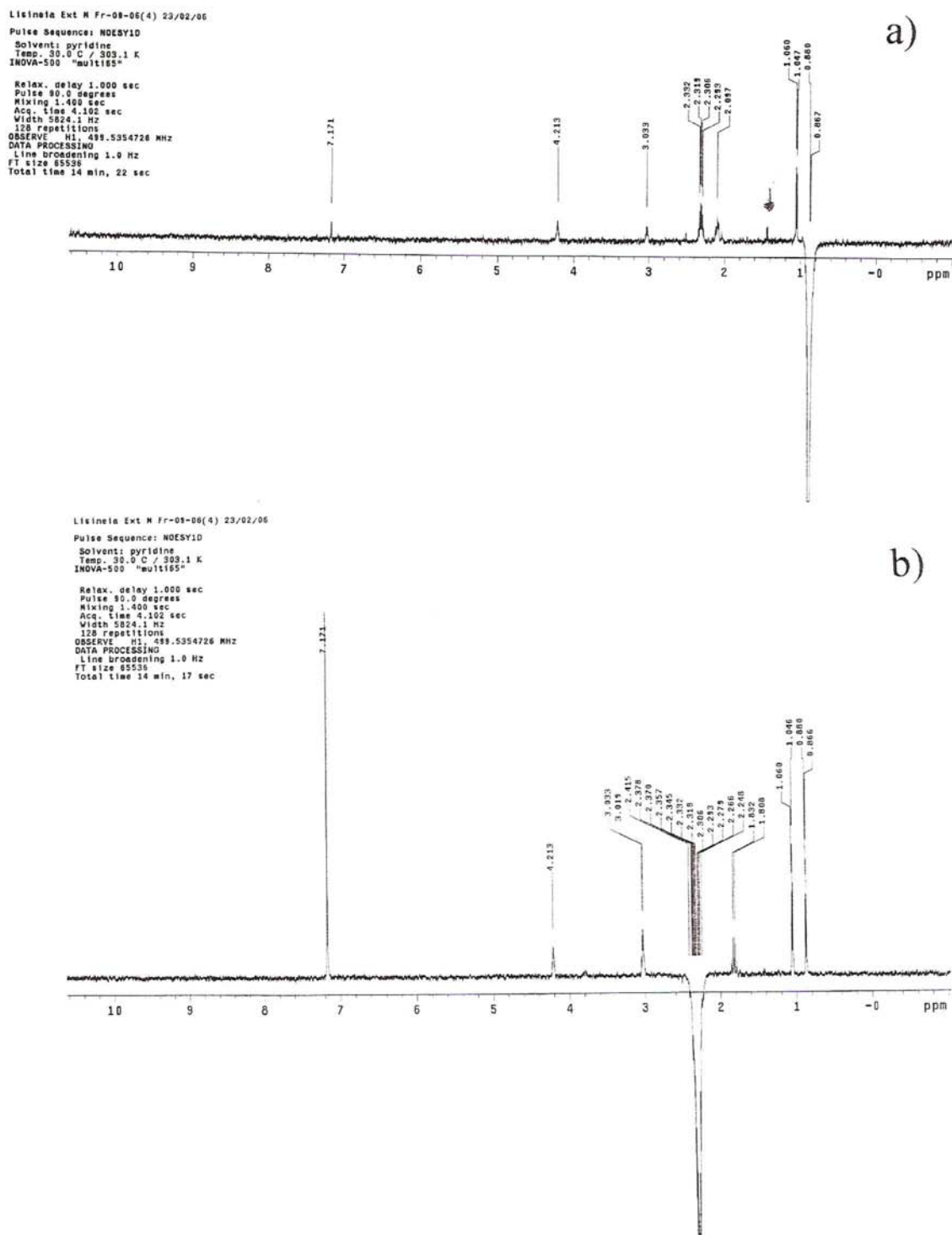


Figura 6S. Espectro de NOESY 1D de **1** (C_3D_3N , 500 MHz), hidrogênios irradiados: a) H-12, δ_H 0,87; b) H-11, δ_H 2,32

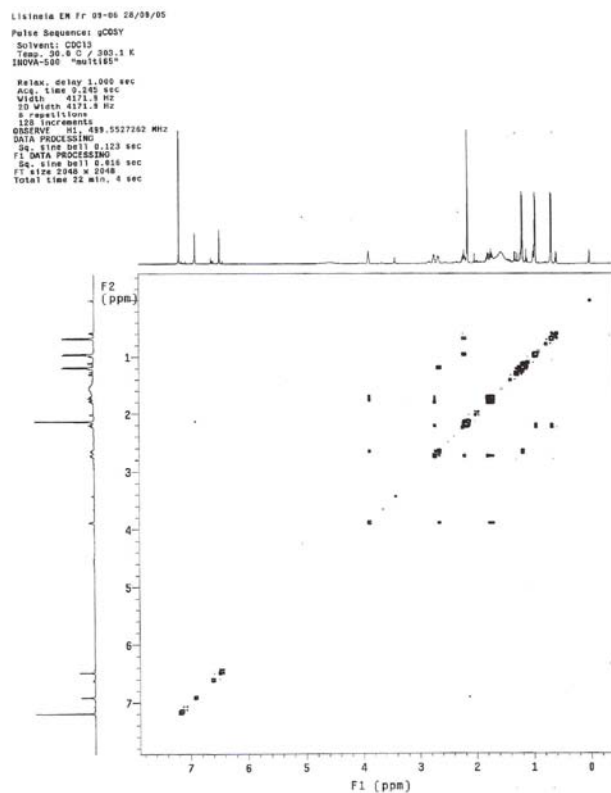


Figura 7S. Espectro de gCOSY de **1** (CDCl_3 , 500MHz)

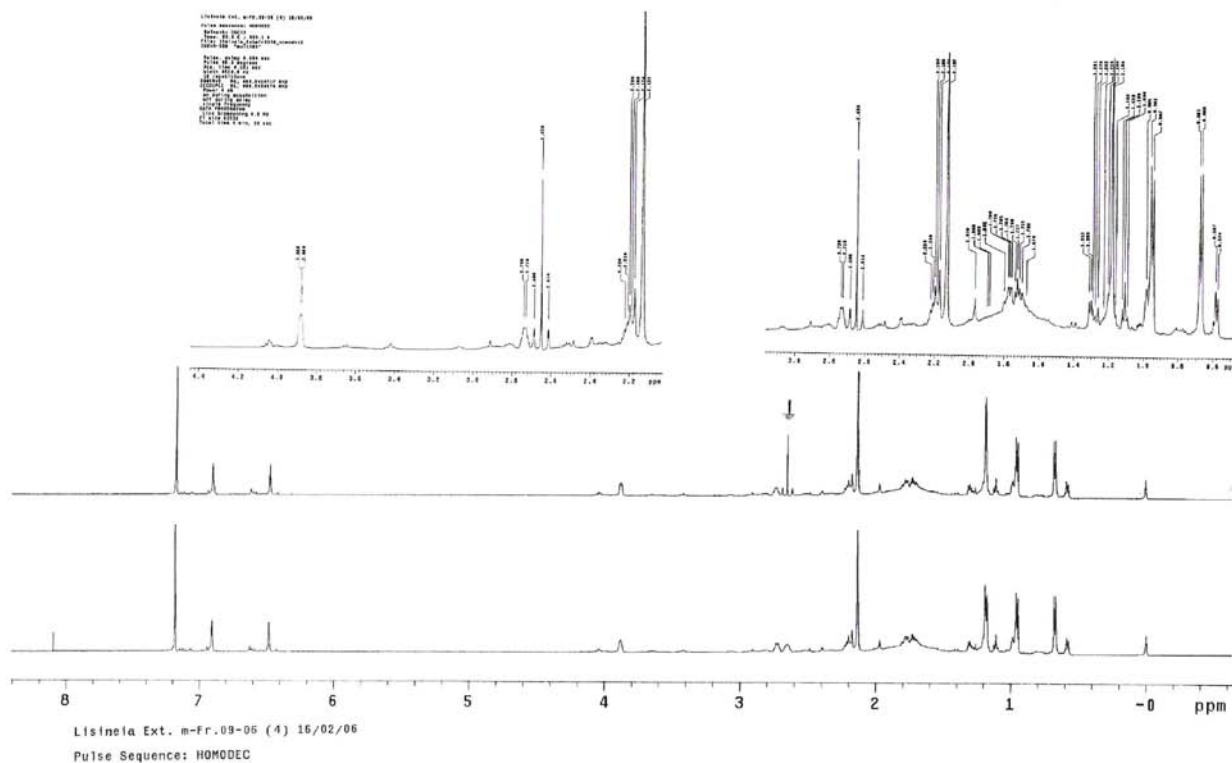


Figura 8S. Espectro de HOMODEC de **1** (CDCl_3 , 500MHz), hidrogênios irradiados H-1, δ_H 2,65

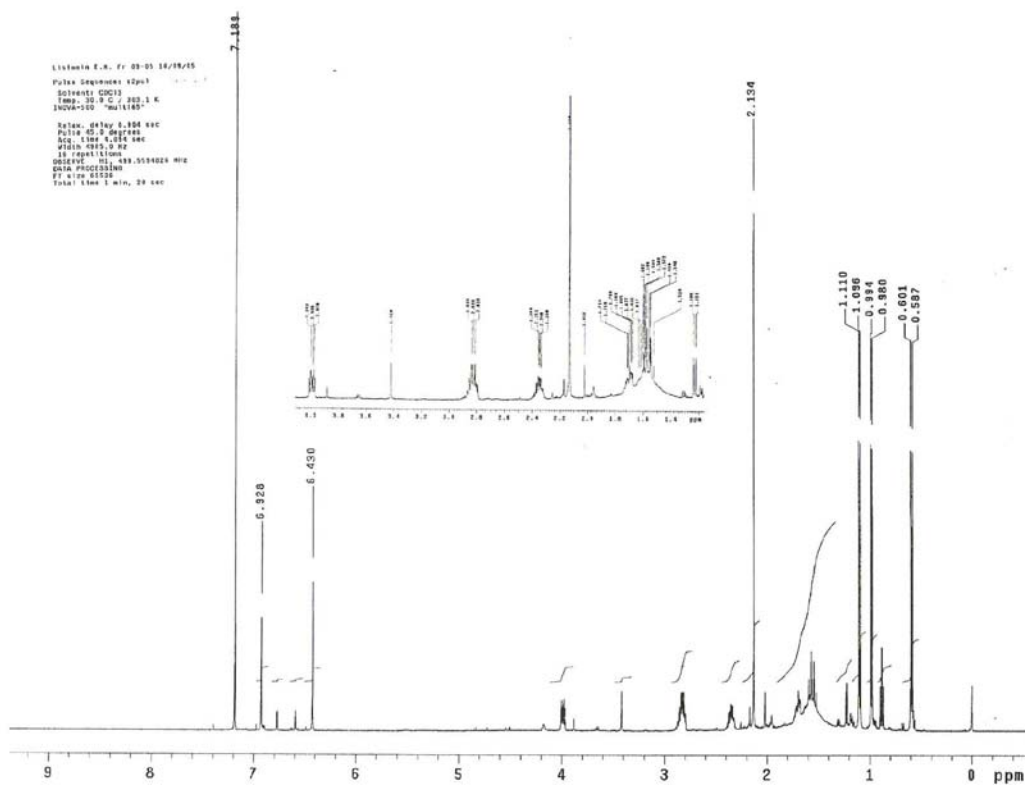


Figura 9S. Espectro de RMN de ¹H de 2 (CDCl₃, 500 MHz)

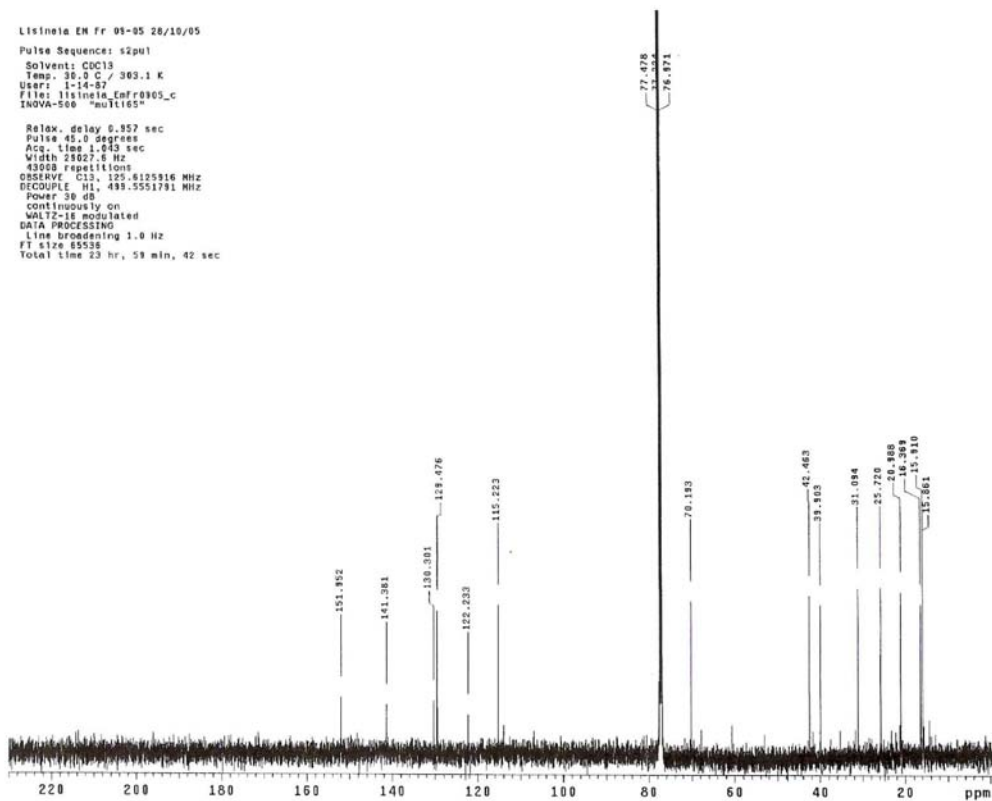


Figura 10S. Espectro de RMN de ¹³C de 2 (CDCl₃, 125 MHz)

Lisínia EM Fr 09-05 28/10/05
 Pulse Sequence: gHMOC
 Solvent: CDCl₃
 Temp: 30.0 C / 303.1 K
 User: 1-14-87
 File: lisínia_emfr0905_ghmoc
 INOVA-500 "multis9"

Relax. delay 1.000 sec
 Acq. time 0.238 sec
 Width 4373.5 Hz
 2D Width 29027.6 Hz
 32 repetitions
 2 x 128 increments
 OBSERVE H1, 499.5527271 MHz
 DECOUPLE C13, 125.6269743 MHz
 Power 47 dB
 on during acquisition
 off during delay
 GMRP-1 modulated
 DATA PROCESSING
 Gauss apodization 0.108 sec
 F1 DATA PROCESSING
 Gauss apodization 0.003 sec
 FT size 2048 x 2048
 Total time 2 hr, 56 min, 28 sec

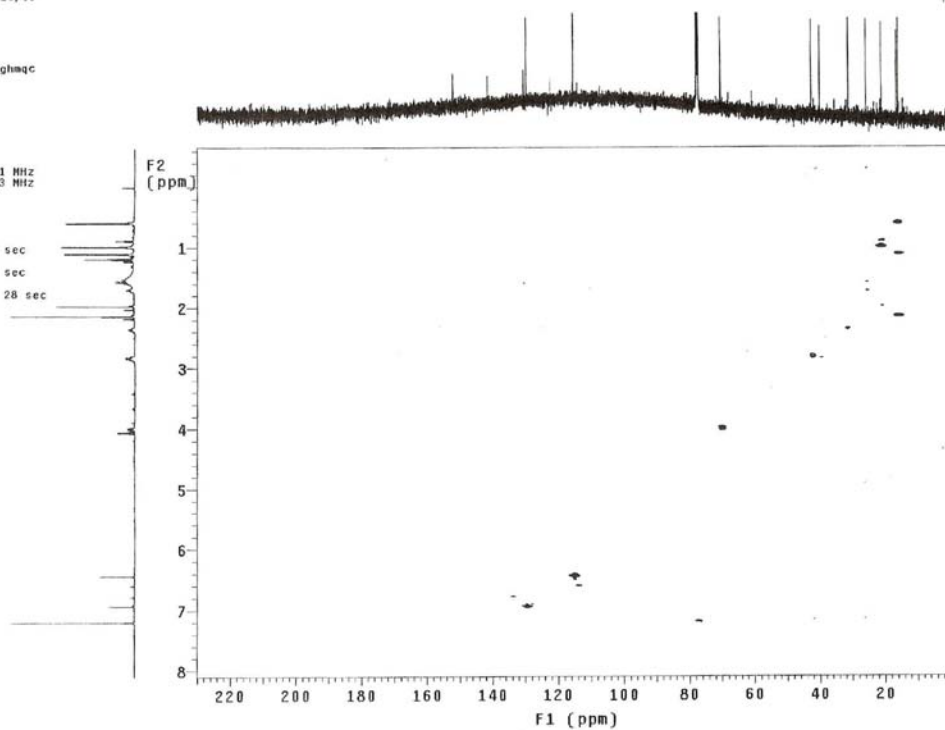


Figura 11S. Mapa de contorno de gHMOC de 2 (CDCl₃, 125 MHz)

Lisínia EM Fr 09-05 28/10/05
 Pulse Sequence: gHMBC
 Solvent: CDCl₃
 Temp: 30.0 C / 303.1 K
 User: 1-14-87
 File: lisínia_emfr0905_ghmoc
 INOVA-500 "multis9"

Relax. delay 1.000 sec
 Acq. time 0.238 sec
 Width 4373.5 Hz
 2D Width 29027.6 Hz
 64 repetitions
 128 increments
 OBSERVE H1, 499.5527271 MHz
 DATA PROCESSING
 Sine bell 0.117 sec
 F1 DATA PROCESSING
 Sine bell 0.002 sec
 FT size 2048 x 2048
 Total time 3 hr, 40 sec

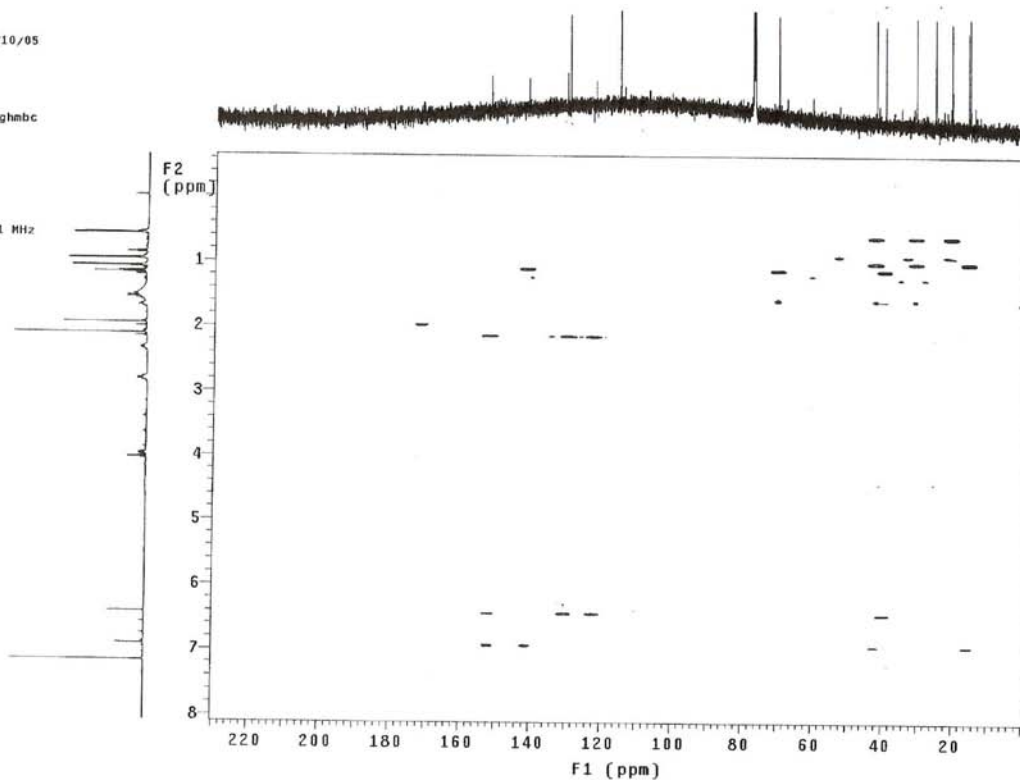


Figura 12S. Mapa de contorno de gHMBC de 2 (CDCl₃, 125 MHz)

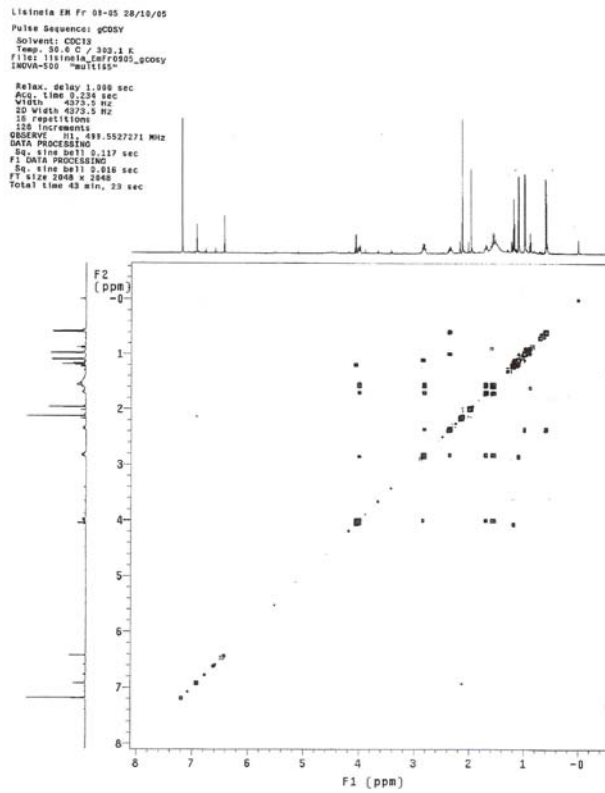


Figura 13S. Espectro de gCOSY de 2 (CDCl_3 , 500MHz)

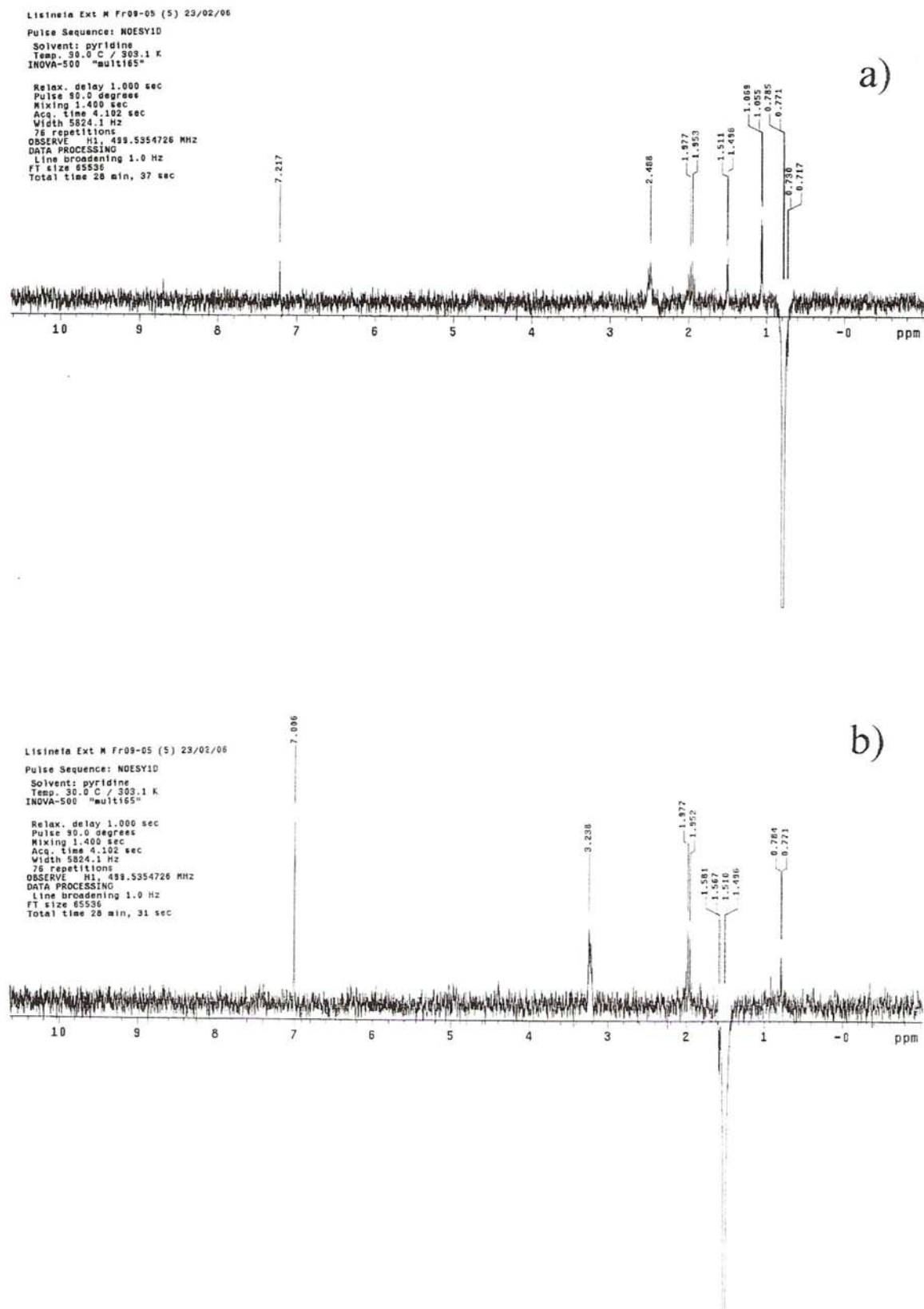


Figura 14S. Espectro de NOESY 1D de 2 (C_5D_5N , 500 MHz), hidrogênios irradiados: a) H-13, δ_H 0,75; b) H-14, δ_H 1,54

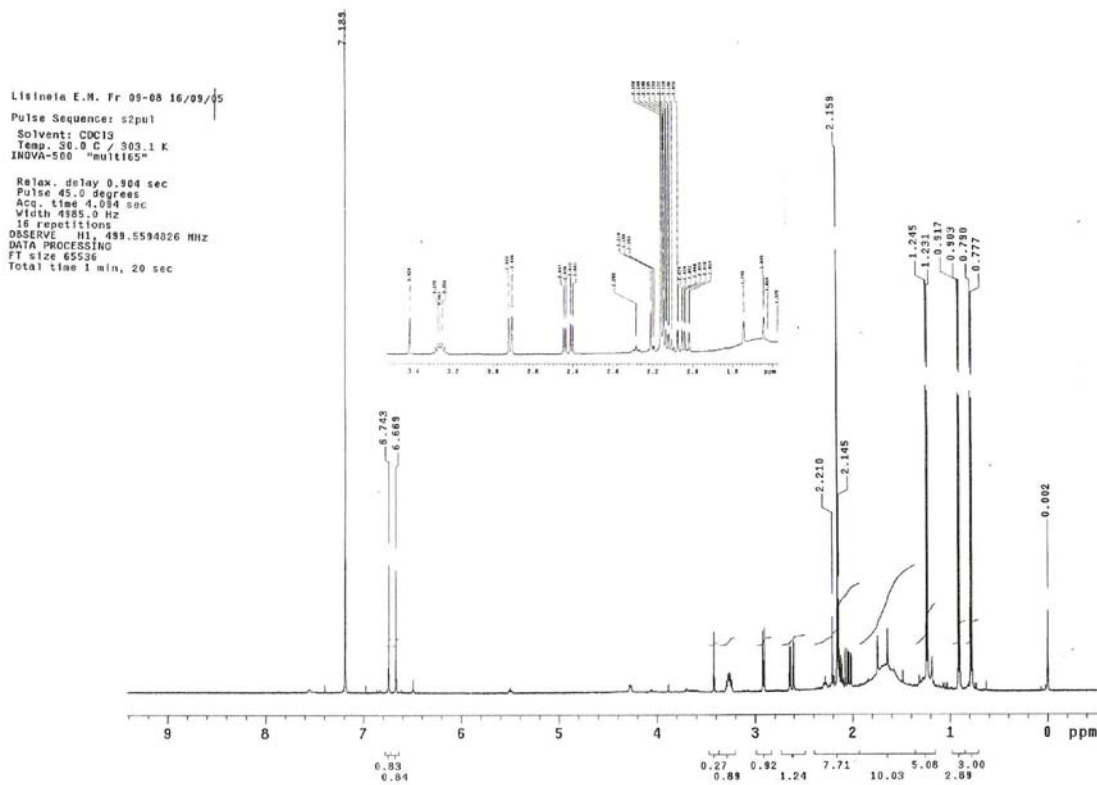


Figura 15S. Espectro de RMN de ¹H de 3 (CDCl₃, 500 MHz)

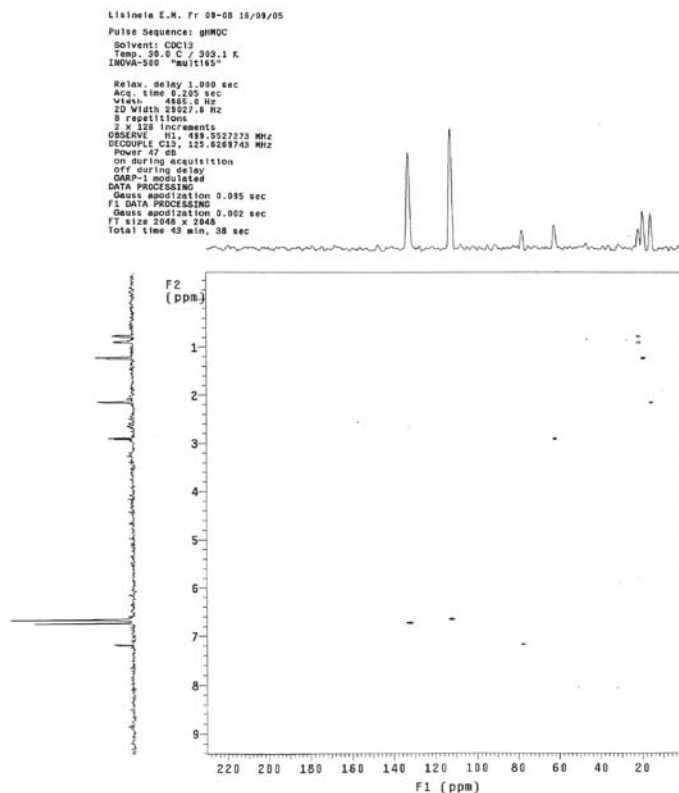


Figura 16S. Mapa de contorno de gHMOC de 3 (CDCl₃, 125 MHz)

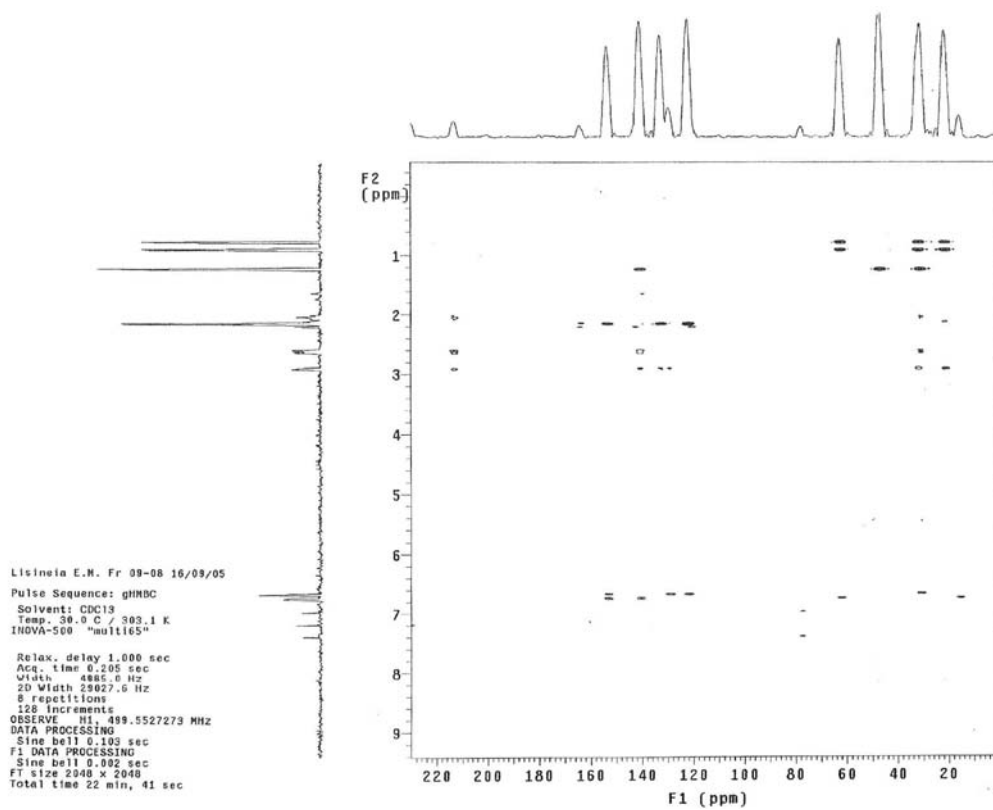


Figura 17S. Mapa de contorno de gHMBC de 3 (CDCl₃, 125 MHz)

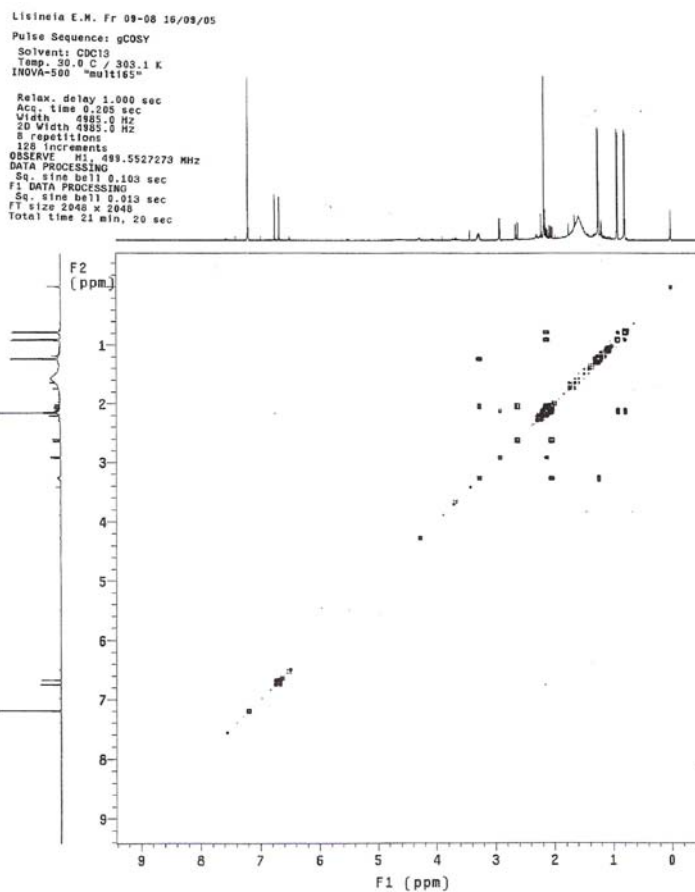


Figura 18S. Espectro de gCOSY de 3 (CDCl₃, 500MHz)

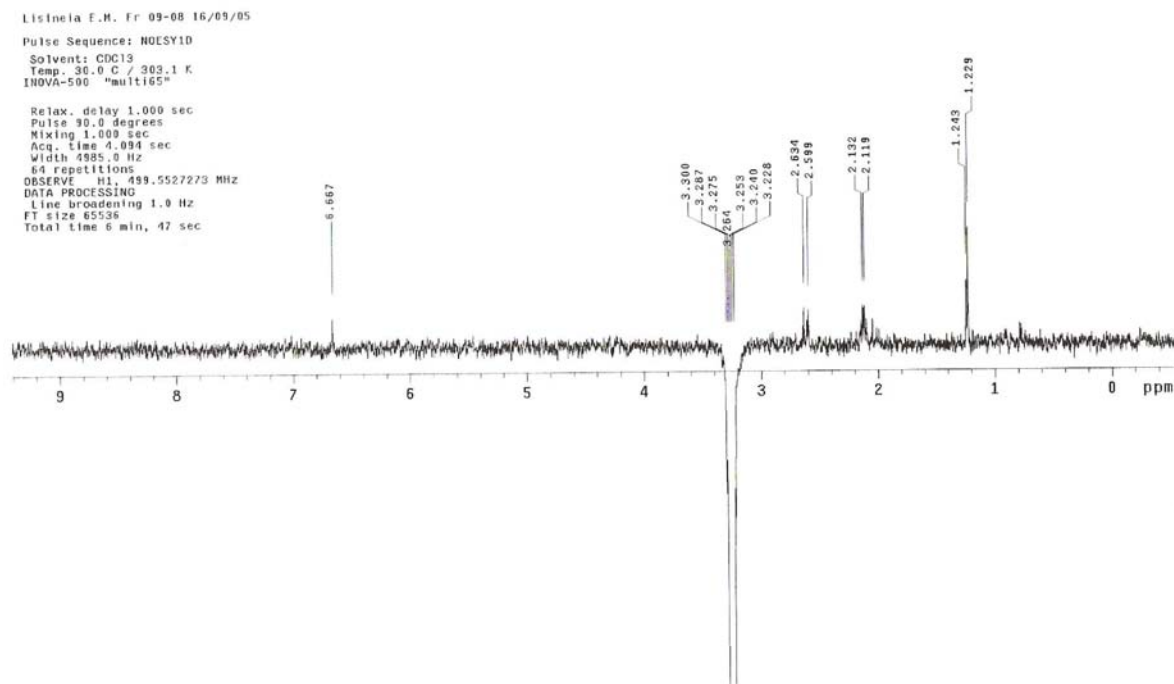


Figura 19S. Espectro de NOESY 1D de **3** (CDCl_3 , 500 MHz), Irradiação do H-1, δ_{H} 3,27

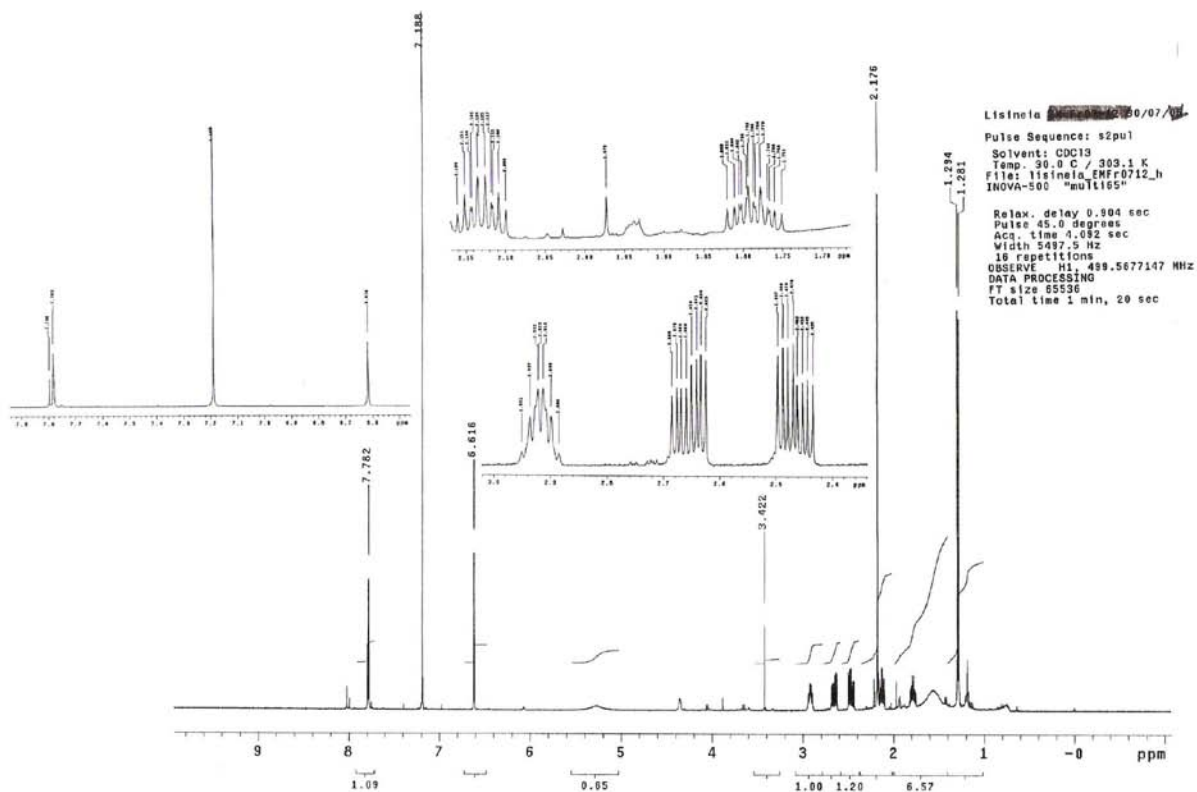


Figura 20S. Espectro de RMN de ^1H de **4** (CDCl_3 , 500 MHz)

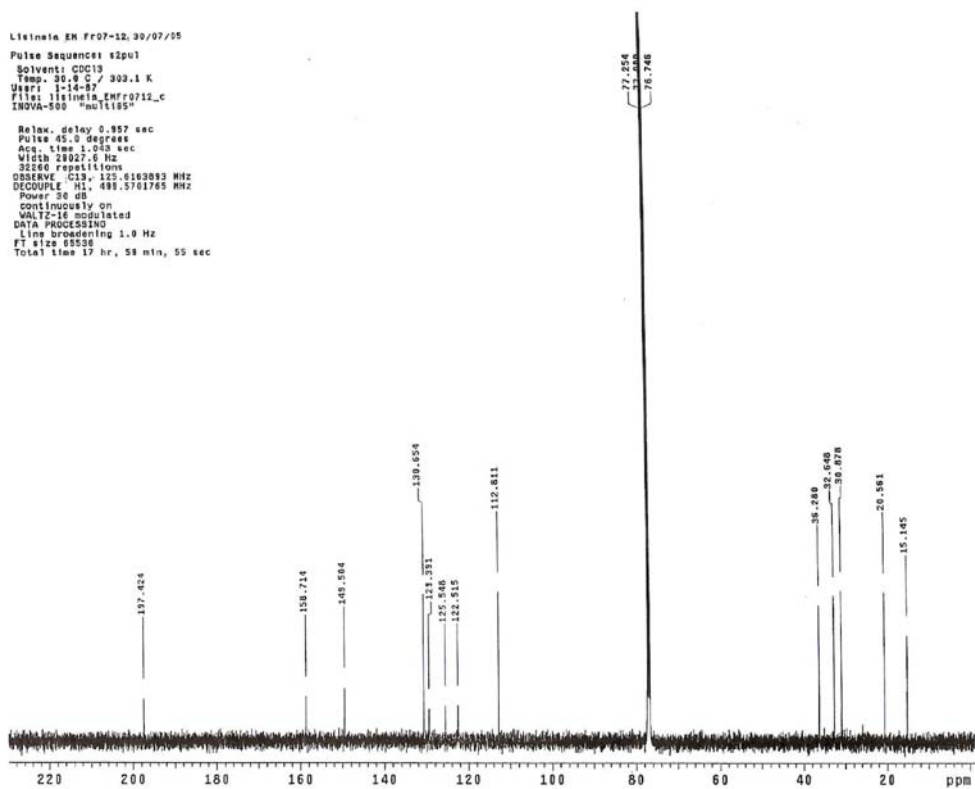


Figura 21S. Espectro de RMN de ^{13}C de **4** (CDCl_3 , 125 MHz)

Lisineia EM Fr07-12 30/07/05
 Pulse Sequence: gHMOC
 Solvent: CDCl3
 Temp: 30.0 C / 303.1 K
 User: 1-14-07
 File: lisineia_EMFr0712_gHMQC
 INOVA-500 "multis5"

Relax. delay 1.000 sec
 Acq. time 0.186 sec
 Width 5497.5 Hz
 2D Width 24927.6 Hz
 32 repetitions
 2 x 128 increments
 OBSERVE H1, 499.5677147 MHz
 DECOUPLE C13, 125.8307458 MHz
 Power 47 dB
 on during acquisition
 off during delay
 GARP-1 modulated
 DATA PROCESSING
 Gauss apodization 0.085 sec
 F1 DATA PROCESSING
 Gauss apodization 0.002 sec
 FT size 2048 x 2048
 Total time 2 hr, 49 min, 54 sec

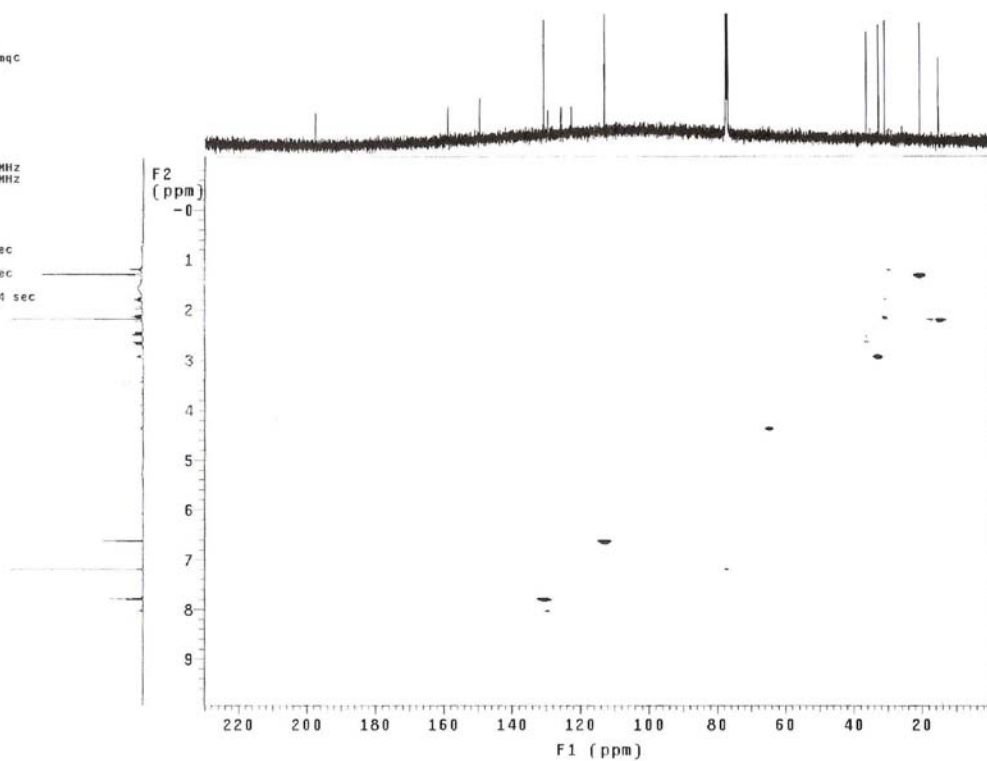


Figura 22S. Mapa de contorno de gHMOC de **4** (CDCl_3 , 125 MHz)

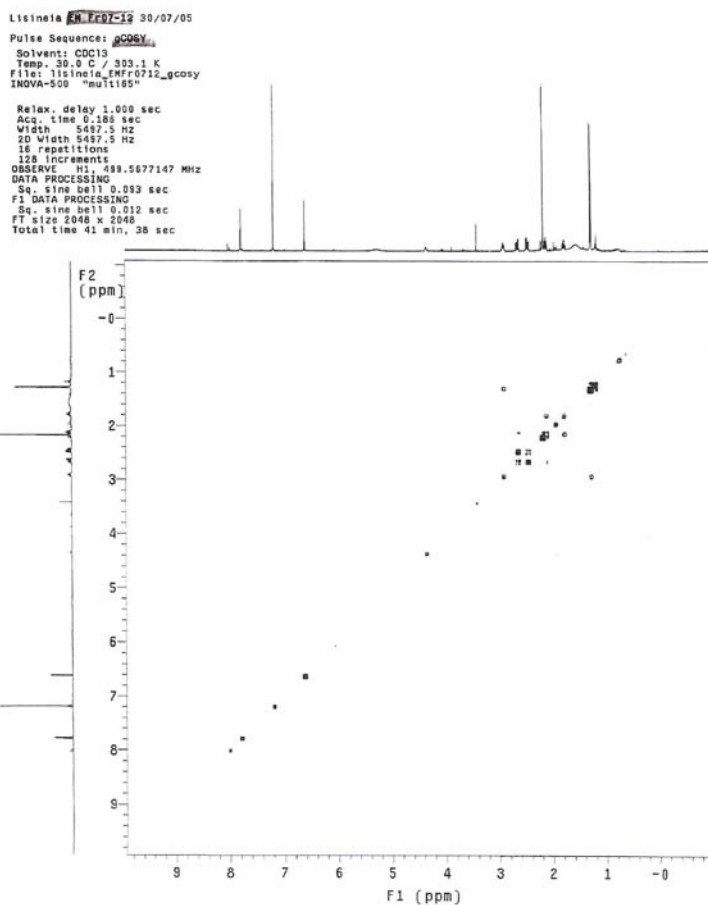


Figura 23S. Espectro de gCOSY de 4 (CDCl₃, 500MHz)

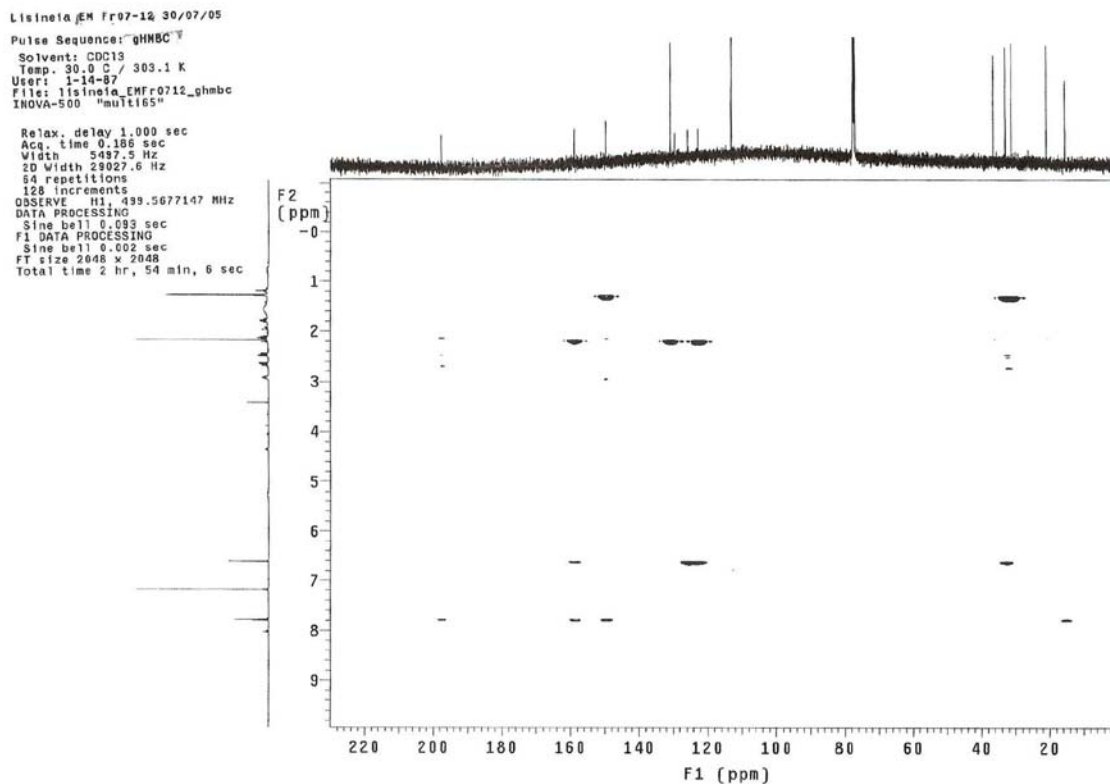


Figura 24S. Mapa de contorno de gHMBC de 4 (CDCl₃, 125 MHz)